

تأثیر مرتبه المان در جنبه‌های مختلف روش بهینه سازی تکاملی سازه‌ها

علی قدوسیان^۱، سیف الله سعدالدین^۲ و عباس طبسی^۳

Tabasi.abbas@yahoo.com

چکیده

در سال‌های اخیر روش بهینه سازی تکاملی سازه‌ها موسوم به ESO (Evolutionary Structural Optimization) به عنوان یک ابزار موثر در طراحی سازه‌ها مورد استفاده قرار گرفته است. مبنای روش ESO استفاده از نتایج تحلیل المان محدود مسئله در هر مرحله از فرآیند و حذف تدریجی مواد زائد بر مبنای این نتایج می‌باشد. در روش مذکور برخی از پارامترهای تجربی از قبیل نرخ حذف مواد و نرخ تکاملی وجود دارد که در نتایج بدست آمده موثر می‌باشند. در مقاله ارائه شده تأثیر مرتبه المان مورد ارزیابی قرار گرفته و در این راستا از المان مربعی با هشت گره استفاده شده است و ضمن مقایسه نتایج آن با المان مربعی چهار گره‌ای، تأثیر آن در مقادیر تنش، کاهش حجم و برخی از پارامترهای روش ESO از قبیل نرخ تکاملی و نرخ حذف مواد مورد بررسی قرار گرفته است. نتایج بدست آمده نشان می‌دهد که برخی از مقادیر محاسبه شده جهت المان‌های مرتبه پایین برای استفاده در مسائل با المان‌های مرتبه بالاتر مناسب نیستند و در این راستا مقادیر مناسب جهت این پارامترها ارائه گردیده است. در ادامه چندین مثال با شرایط مرزی مختلف بیان شده است.

کلید واژه:

بهینه سازی - بهینه سازی تکاملی سازه‌ها - المان محدود - مرتبه المان

۱- استادیار، دانشکده مهندسی مکانیک، دانشگاه آزاد اسلامی واحد سمنان

۲- استادیار، دانشکده مهندسی مکانیک، دانشگاه آزاد اسلامی واحد سمنان

۳- کارشناس ارشد، دانشکده مهندسی مکانیک، دانشگاه آزاد اسلامی واحد سمنان

[۸]، مرگ نرم^۶ [۹]، افزایش معکوس^۷ [۱۰] و بهینه سازی تکاملی سازه ها^۸ [۱۱] اشاره کرد.

روش های تکاملی دارای مزایایی از قبیل سهولت نسبی در برنامه نویسی و درگیر نشدن با روابط پیچیده ریاضی، عدم پیدایش نواحی خاکستری و نزدیک بودن قابل توجه نتایج بدست آمده با نتایج تحلیلی می باشد.

روش بهینه سازی تکاملی سازه ها که موسوم به روش ESO می باشد، یکی از روش های مطرح در زمینه بهینه سازی توپولوژیکی می باشد که با توجه به مزایا و نتایج آن در سال های اخیر مورد توجه قرار گرفته است. روش ESO دارای پارامترهای مختلفی می باشد که در نتیجه نهایی تاثیر گذار هستند و تغییر برخی از آنها، موجب تغییرات قابل توجهی در نتایج نهایی می گردد و در سال های اخیر، تلاش هایی جهت شناخت بهتر تاثیر این پارامترها صورت گرفته است [۱۲].

در مقاله ارائه شده، از روش ESO با دو المان مربعی چهار گرهای و هشت گرهای استفاده شده و نتایج آن با یکدیگر مقایسه گردیده است و تاثیر مرتبه المان در زمینه های میزان کاهش حجم، تغییرات تنفس، نرخ حذف مواد و نرخ تکاملی مورد بررسی قرار گرفته و در این راستا چندین مثال با شرایط مرزی مختلف مرتبه شده است.

۲- روش بهینه سازی تکاملی سازه ها

روش بهینه سازی تکاملی سازه ها یا ESO اولین بار توسط پروفسور استیون^۹ و زی^{۱۰} ارائه گردید [۱۱]. این روش با در نظر گرفتن یک معیار طراحی، که با توجه به نوع مسئله و نظر طراح تعیین می گردد به حذف تدریجی مواد زائد از فضای طراحی اقدام می نماید و برای این منظور، در پایان هر مرحله از فرآیند، از نتایج تحلیل المان محدود مسئله استفاده می کند. از نکات قابل توجه دیگر این روش، در تحلیل المان محدود مسئله بوده که علی رغم تکرار در هر مرحله، نیاز به المان بندی مجرد فضای طراحی نمی باشد.

از جمله کاربردهای روش ESO در زمینه های مختلف بهینه سازی توپولوژیکی، می توان به مواردی از قبیل مسائل کمانش [۱۳]، مسائل فرکانتس طبیعی [۱۴] و مسائل با قید جابجایی [۱۵] اشاره نمود. روش ESO توانایی خود را در بهینه سازی توپولوژیکی مسائل حرارتی نیز بخوبی اثبات کرده است [۱۶] و حتی، در سایر زمینه های دیگر بهینه سازی، از جمله بهینه سازی شکل نیز با موفقیت بکار گرفته شده است. [۱۷] کاربردهای گستردۀ این روش و توجه پژوهشگران به روش مذکور موجب پیشرفت هایی در زمینه تکامل این روش گردید که از مهمترین موارد قابل ذکر می توان به

۱- مقدمه

تلash جهت یافتن طرحی که دارای مناسب ترین ویژگی باشد، سال های متمادی ذهن محققین را به خود مشغول کرده است. بهینه سازی توپولوژیکی را می توان به عنوان روشی جهت توزیع بهینه جرم در فضای طراحی تعریف کرد که در نهایت ضمن در نظر گرفتن قیود حاکم بر مسئله، به ساختار مناسب دست می باید.

بهینه سازی توپولوژیکی با مطالعات مایکل^۱ بر روی انواع خرپاها آغاز شد [۱] و در سال های بعد با ارائه روش های بر پایه ریاضیات این نوع بهینه سازی به شکل گستردۀ تری مورد استفاده قرار گرفت [۲] هر چند که این روش ها برای مسائل بزرگ با ابعاد واقعی چندان کارآمد نبودند. اما در مقابل سایر روش های دیگر مانند معیار بهینگی^۲ که به صورت غیر مستقیم به حل یک مسئله بهینه سازی می پرداختند، توانایی خود را در زمینه حل مسائل بهینه سازی توپولوژی با ابعاد واقعی و قیود زیاد اثبات نمودند [۳].

به طور کلی، روش های بهینه سازی توپولوژیکی را می توان به دو گروه عمده تقسیم نمود. گروه اول روش های بر پایه ریاضیات بوده و گروه دوم، روش های تکاملی و شهودی می باشد. از انواع روش های مطرح بر پایه ریاضیات می توان به روش های همگن سازی^۳ [۴] و روش SIMP^۴ [۵] اشاره نمود. در روش همگن سازی، فضای طراحی به تعداد معینی سلول تقسیم شده که هر یک از آنها به عنوان یک ریز سازه محسوب می شوند و می توانند خصوصیات مربوط به خود را داشته باشند. این روش ضمن اینکه نتایج قابل توجهی را ارائه می نماید اما دارای نقاط ضعفی از قبیل همگرا شدن به جواب های بهینه محلی، روابط نسبتاً پیچیده ریاضی و پیدایش نوacıی از قبیل چکربوردها و نواحی خاکستری در نتایج آن می باشد هر چند که در سال های بعد فیلترهای مختلف جهت حداقل کردن این مشکلات ارائه گردید [۶]. روش ریز سازه های ایزو ترمو پیک جامد با تابع جریمه که به روش SIMP موسوم است به طور گستردۀ ایی در حل مسائل مختلف مورد استفاده قرار گرفت. یکی از مزیت های این روش حداقل شدن پوشش ناقص مواد در ریز سازه ها و حداقل شدن پیدایش نواحی خاکستری در نتایج بود، هر چند نتایج بدست آمده از این روش نیز تا حدودی به مقدار توان مورد استفاده در تابع جریمه وابسته می باشد [۷].

پیچیدگی روابط ریاضی و برخی دیگر از مشکلات فوق منجر به ارائه روش های تکاملی گردید. روش های تکاملی با حذف تدریجی مواد زائد از فضای طراحی به جواب مورد نظر دست می یابند. از جمله روش های تکاملی می توان به مواردی از قبیل حداقل تنش طراحی^۵

6 - Softkill

7 - Reverse Adaptivity

8 . Evolutionary Structural Optimization

9 - G.P.Steven

10 - Y.M.Xie

1- Michell

2 - Optimality Criteria

3 - Homogenization Method

4 - Solid Isotropic Microstructures whit Penalty

5 - Fully Stress Design

روش ESO المان هایی را که در آنها نسبت تنش ون مایزز σ_{el} به تنش ون مایزز حداکثر σ_{max} پایین تر از حد معین RR باشند را به عنوان مواد زائد شناخته و آنها را حذف می نماید که این حذف از طریق کشتن المان ها و از بین بردن تاثیر آنها صورت می گیرد. مقدار RR باید بگونه ای باشد که در یک مرحله المان های زیادی از جسم حذف نگردد و حذف مواد به صورت تدریجی صورت گیرد. چرخه حذف مواد تا زمانی که هیچ المانی وجود نداشته باشد که در شرط مسئله صدق کند ادامه می یابد. در صورتی که هیچ المانی حذف نگردد، حالتی موسوم به حالت پایدار بوجود می آید که در این زمان پارامتری به نام نرخ تکاملی به نرخ حذف مواد اضافه می گردد.

$$RR_{i+1} = RR_i + ER \quad (3)$$

RR_{i+1} نرخ حذف مواد جدید در مرحله $i+1$ ام می باشد. RR_i نیز نرخ حذف مواد در حالت پایدار و ER بیانگر نرخ تکاملی می باشد. بعد از این افزایش، چرخه المان محدود و حذف مواد تا زمان رسیدن به حالت پایدار جدید ادامه می یابد و این فرآیند تا زمان دست یابی به حالت بھینه تکرار می گردد. در مقاله ارائه شده، جهت تحلیل المان محدود مسئله از نرم افزار ANSYS استفاده شده است و برنامه ESO نیز در محیط APDL این نرم افزار نوشته شده است.

۴- اعمال روشن ESO در سازه های دو بعدی پیوسته

با توجه به اینکه هدف از این مقاله بیان تاثیر مرتبه المان در تعیین پارامترهای روشن ESO همچنین مقایسه نتایج بدست آمده از آن می باشد، ابتدا نسبت به بدست آوردن مقادیر مناسب جهت تعیین نرخ حذف اولیه مواد RR_0 و نرخ تکاملی ER اقدام نموده و سپس در ادامه از سه مثال با شرایط مزی مختلف استفاده گردیده است و جهت تایید صحت عملکرد برنامه نوشته شده از مقایسه نتایج بدست آمده با سایر نتایج معتبر که توسط پژوهشگران ارائه گردیده، استفاده شده است [۲۰] و [۱۱] که بیانگر انطباق قابل قبولی بین این نتایج می باشد.

۴-۱- تاثیر مرتبه المان در انتخاب نرخ حذف اولیه و نرخ تکاملی

نرخ حذف اولیه و نرخ تکاملی از پارامترهای تاثیر گذار در روشن ESO می باشند. با توجه به تحقیقات انجام شده جهت بررسی پارامترهای مختلف روشن ESO در صورت استفاده از المان مربعی با چهار گره، مقدار نرخ تکاملی $ER=0.05\%$ و نرخ حذف اولیه $RR_0=1\%$. مقادیر مناسب می باشند [۱۲].

در این بخش از مقاله ضمن استفاده از المان مربعی با هشت گره، تاثیر این دو پارامتر و همچنین تعیین مقدار مناسب آن مورد ارزیابی قرار گرفته است و در این راستا از سازه مایکل با دو تکیه گاه ثابت

ارائه روشن بھینه سازی تکاملی افزاینده در سازه ها^{۱۱} موسوم به AESO [۱۸] و بھینه سازی تکاملی دو سویه در سازه ها^{۱۲} که موسوم به روشن BESO می باشد [۱۹] اشاره نمود. روشن AESO بر خلاف روشن ESO بوده که از یک حداقل سازه اولیه که امکان تحلیل المان محدود آن وجود داشته باشد، آغاز شده و در هر مرحله در نقاط مورد نظر سازه نسبت به اضافه کردن مواد اقدام می نماید و این امر در حالی است که هیچ گونه حذف مواد صورت نمی گیرد. روشن AESO را می توان به صورت ترکیبی از دو روشن ESO و BESO در نظر گرفت که هم زائد نیز می باشد که این امر موجب افزایش سرعت دست یابی به جواب مورد نظر بویژه در سازه های سه بعدی می گردد.

۴-۲- مبنای حذف مواد با قید تنش

جهت اعمال روشن ESO، ابتدا فضای طراحی را به تعداد معینی از المان ها تقسیم شده و پس از تعیین شرایط مزی و بارگذاری مسئله را به صورت المان محدود تحلیل می گردد. سپس مقدار معیار موردنظر، که با توجه به نوع مسئله توسط طراح تعیین می گردد، برای هر یک از المان ها محاسبه می شود. در این مقاله از تنش ون مایزز^{۱۳} که یک معیار مناسب جهت مسائل با قید تنش می باشد استفاده گردیده است.

$$\sigma_{vm} = \frac{1}{2} \sqrt{(\sigma_1 - \sigma_2)^2 + (\sigma_2 - \sigma_3)^2 + (\sigma_1 - \sigma_3)^2} \quad (1)$$

که در رابطه فوق، σ_{vm} بیانگر تنش ون مایزز و σ_1 و σ_2 و σ_3 تنش های اصلی هستند. در بیان ریاضی مسئله بھینه سازی، وزن سازه به عنوانتابع هدف جهت کمینه کردن در نظر گرفته شده است که با توجه به ثابت بودن ضخامت و جنس مواد در تمام فضای طراحی، این امر از طریق حذف مواد زائد و کاهش حجم محقق می گردد و قید حاکم بر مسئله نیز به صورت تعیین کمترین سطح تنش، بر مبنای درصدی از تنش ماکزیمم می باشد که توسط طراح تعیین می گردد.

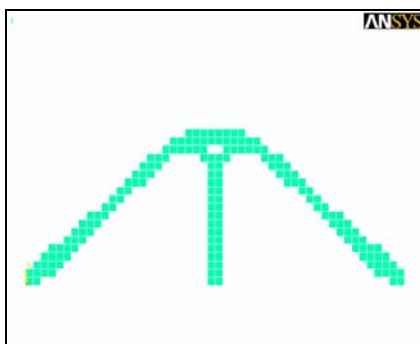
$$\begin{aligned} Min : f(x) &= W \\ S.t.o : \sigma_{el} \langle RR_i \sigma_{max} \end{aligned} \quad (2)$$

که در رابطه فوق، W بیانگر وزن سازه و σ_{el} و σ_{max} به ترتیب تنش ون مایزز در المان و تنش ون مایزز حداکثر در مرحله جاری می باشد. RR_i نیز نرخ حذف مواد در مرحله i ام را بیان می کند.

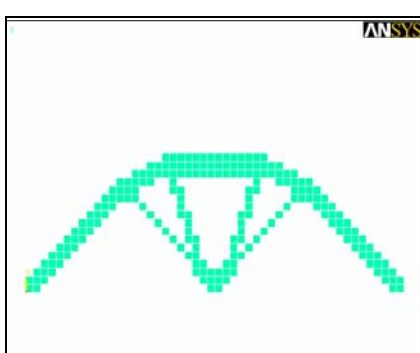
11 - Adaptive Evolutionary Structural Optimization

12 - Bi-directional Evolutionary Structural Optimization

13 - Von Mises



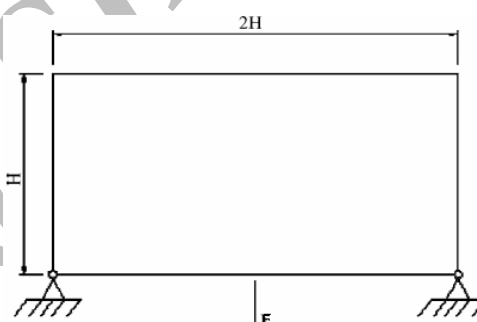
(ب)



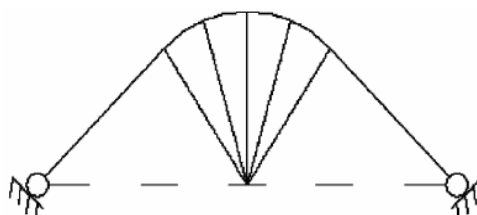
(ج)

شکل (۳): جوابهای روش ESO برای شکل (۱) در حالت پایدار با نرخ حذف مواد $RR_0=20\%$ و نرخ حذف اولیه $ER=0.0025$ ، (الف) $ER=0.005$ ، (ب) $ER=0.01$ ، (ج) $ER=0.025$

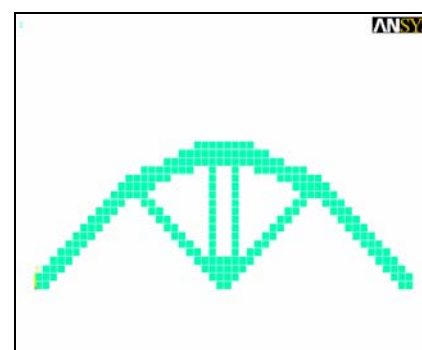
استفاده شده است. همان گونه که در شکل (۱) نشان داده شده است، محیط طراحی به اندازه $2H \times H$ ($H=5m$) بوده و ضخامت صفحه برابر $0.1m$ می‌باشد. مدول یانگ $E=100\text{ GPa}$ و نسبت پواسون $\nu=0.3$ در نظر گرفته شده است و دو گوشه پایین صفحه در برابر هر گونه جابجایی مقید شده است. نیرو عمودی $F=1000\text{ N}$ نیز مطابق شکل به سازه وارد می‌گردد. محیط طراحی با 25×50 المان مربعی با هشت گره تقسیم گردیده است. در ابتدا نرخ حذف اولیه RR_0 ثابت و برابر 1% در نظر گرفته شده و برای نرخ تکاملی ER سه مقدار متفاوت 0.025% ، 0.05% و 0.1% در نظر گرفته شده است که نتایج آن در شکل (۳) در حالت پایدار با نرخ حذف مواد $RR=20\%$ نشان داده شده است. شکل (۴) نیز بیانگر تغییرات تنفسی مایز و کاهش حجم صورت گرفته در این سه حالت می‌باشد.



شکل (۱): محیط طراحی شامل یک صفحه تحت بارگذاری با دو تکیه‌گاه ثابت

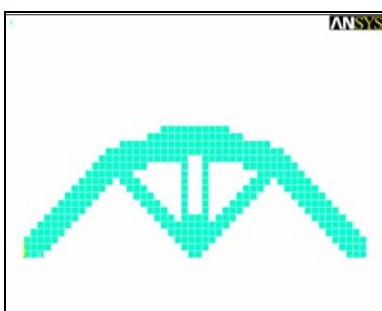
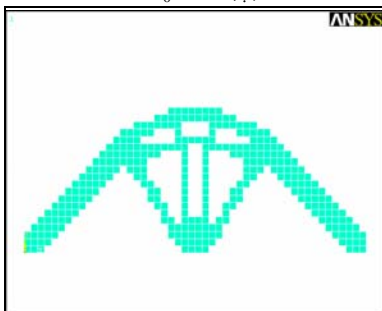


شکل (۲) : سازه نوع مایکل



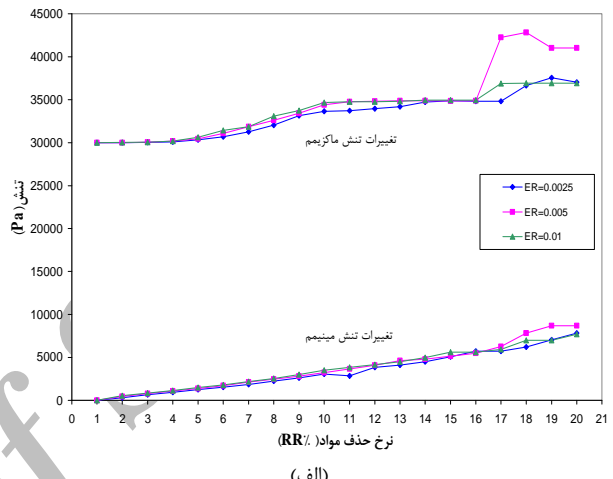
(الف)

همان گونه که نتایج نشان می‌دهند، روند تغییرات تنفسی و تغییرات حجم در حالت (الف) و (ب) تفاوت چندانی با یکدیگر ندارند، اما شکل نتایج بدست آمده با یکدیگر متفاوت می‌باشد. در حالت (ج) و نرخ تکاملی $ER=1\%$ نیز شاهد تغییر قابل ملاحظه تنفسی در $RR=17\%$ هستیم و با توجه به نتایج حاصل شده و همچنین حداکثر شباهت سازه‌های بدست آمده نسبت به سازه مایکل و نتایج ارائه شده در سایر مقالات معتبر [۱] و [۱۱]، حالت نخست یعنی $ER=0.0025$ بهترین حالت بوده و در مراحل بعدی از این مقدار $ER=0.005$ تا 0.01 نرخ تکاملی استفاده گردیده است. در گام بعدی مقدار نرخ تکاملی ER برابر مقدار ثابت 0.25% در نظر گرفته شده و نرخ حذف اولیه مواد RR_0 را برابر سه مقدار مختلف 5% ، 1% و 0.8% در نظر گیریم. شکل (۵) نتایج بدست آمده در حالت پایدار با نرخ حذف $RR=15\%$ را نمایش می‌دهد. نحوه تغییرات تنفسی و مایز و همچنین میزان کاهش حجم سازه در نمودار، شکل (۶) نمایش داده است و همانگونه که از نتایج مشخص است، در دو حالت اول شده است و همانگونه که از نتایج میزان کاهش حجم سازه در نمودار، شکل (۶) نمایش داده است و همانگونه که از نتایج مشخص است، در دو حالت اول $RR_0=1\%$ و $RR_0=5\%$. شکل بهینه به یکدیگر نزدیک بوده و تقریباً یکسان می‌باشد اما در حالت سوم روند تغییرات تنفسی ماقریم تا حدودی متفاوت بوده و شکل سازه بدست آمده نیز از

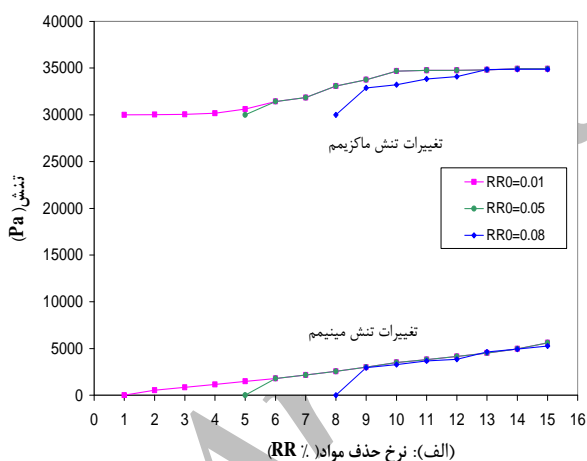
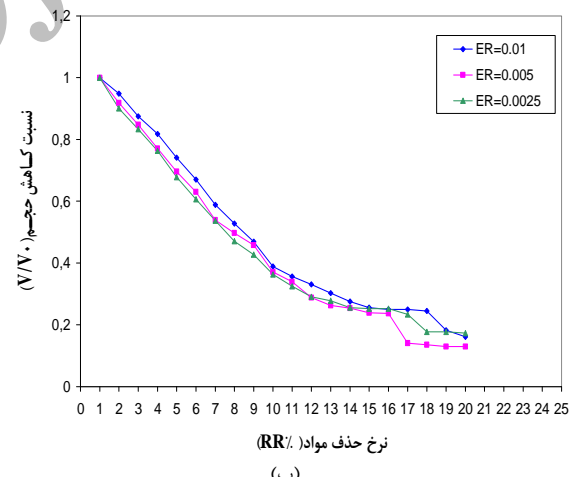
(ب) : $RR_0 = 0.05$ (ج) : $RR_0 = 0.08$

شکل (۵): جواب‌های روش ESO برای شکل (۱) در حالت پایدار با نرخ حذف مواد $ER = ۰.۲۵\%$ و نرخ تکاملی $RR = ۱۵\%$.

نوع سازه مایکل دور شده است. همچنین طبق نمودار نحوه کاهش حجم، در حالت $RR_0 = ۰.۰۵$ و $RR_0 = ۰.۰۸$ تنها در مرحله اول حجم قابل توجهی از مواد از سازه حذف می‌گردد که این امر مسئله را به سمت ناپایدار شدن سوق می‌دهد و بنابراین مقادیری مناسب جهت نرخ حذف اولیه مواد نمی‌باشند.

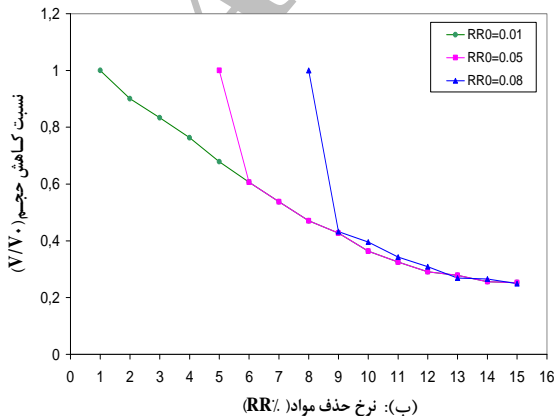


(الف)

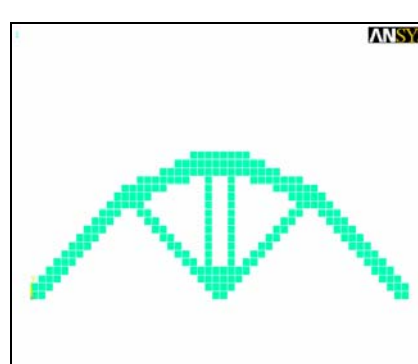
(الف) : نرخ حذف مواد ($RR\%$)

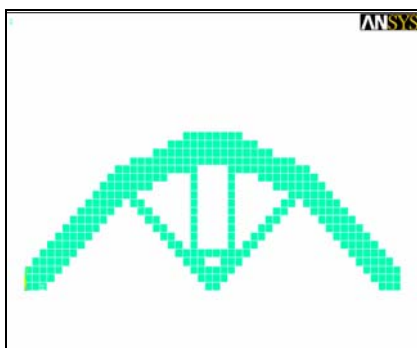
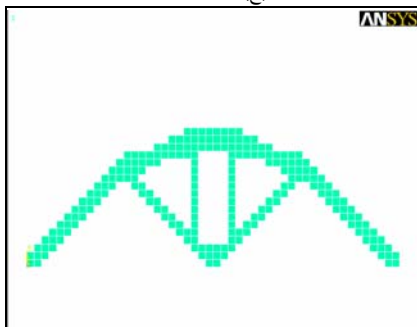
(ب)

شکل (۴): (الف) روند تغییرات تنفس ون مایزز (ب) روند تغییرات کاهش حجم

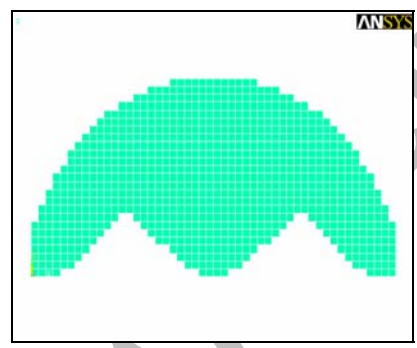
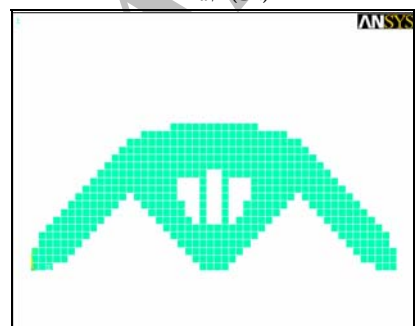
(ب) : نرخ حذف مواد ($RR\%$)

شکل (۶): (الف) روند تغییرات تنفس ون مایزز (ب) روند تغییرات کاهش حجم

(الف) : $RR_0 = 0.1$

(ج) : $RR=15\%$ (د) : $RR=20\%$

شکل (۷): جواب های روش ESO با المان چهار گره ای در حالت پایدار

(الف) : $RR=5\%$ (ب) : $RR=10\%$

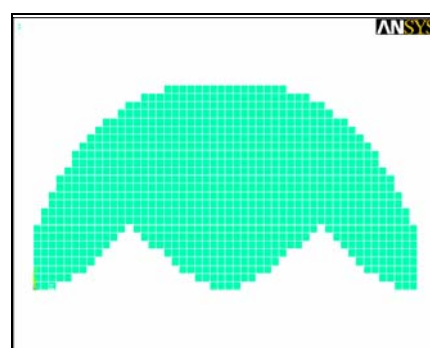
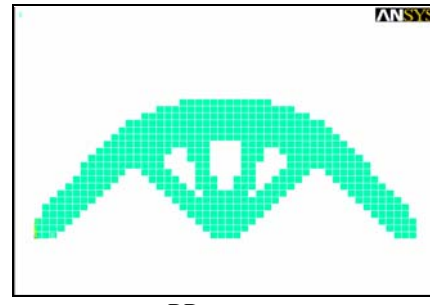
بنابراین نتایج بدست آمده، مقدار نرخ تکاملی $ER=0/25\%$ و نرخ حذف اولیه $RR_0=1\%$ جهت مسائل با المان های مربعی با هشت گره مناسب بود و در ادامه از این مقادیر استفاده گردیده است.

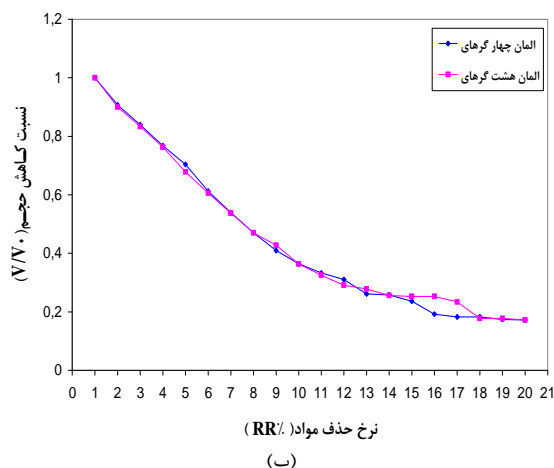
۴-۲- مقایسه تأثیر المان در روند بهینه سازی

در این بخش المان مربعی با چهار گره و المان مربعی با هشت گره جهت انجام بهینه سازی توپولوژیکی در سه مثال مختلف مورد استفاده قرار گرفته است و تأثیر مرتبه المان با مقایسه نتایج بدست آمده در زمینه تغییرات تنش، روند کاهش حجم و شکل سازه بدست آمده مورد بررسی قرار گرفته است.

۴-۲-۱ - سازه مایکل با دو تکیه گاه ثابت

در اولین مثال مجدداً از سازه مایکل با دو تکیه گاه ثابت استفاده شده است. محیط طراحی مطابق شکل (۱) به اندازه $2H \times H$ ، ($H=5m$) با ضخامت $1m$ می باشد. مدول یانگ برابر $E=100 GPa$ و ضریب پواسون $\nu=0/3$ می باشد. نیروی $F=1000 N$ مطابق شکل به سازه اعمال شده و دو تکیه گاه ثابت در دو گوشه پایین صفحه قرار گرفته است. این مسئله با 25×50 المان تقسیم بندی شده است که یک بار از المان مربعی چهار گره ای و بار دیگر از المان مربعی هشت گره ای استفاده گردیده است. در حالت نخست که المان مربعی چهار گره ای استفاده شده، مقدار نرخ تکامل $ER=0/5\%$ و نرخ حذف اولیه $RR_0=1\%$ در نظر گرفته و برای حالت استفاده از المان مربعی هشت گره ای مطابق نتایج بدست آمده از نرخ تکاملی $ER=0/25\%$ و نرخ حذف اولیه $RR_0=1\%$ استفاده گردیده است. شکل (۷) و (۸) به ترتیب نتایج حاصل از بهینه سازی این دو المان را در حالت پایدار و با نرخ حذف مواد $RR=20\%$ نمایش می دهد.

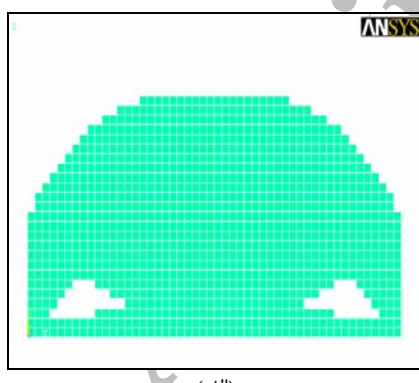
(الف) : $RR=5\%$ (ب) : $RR=10\%$



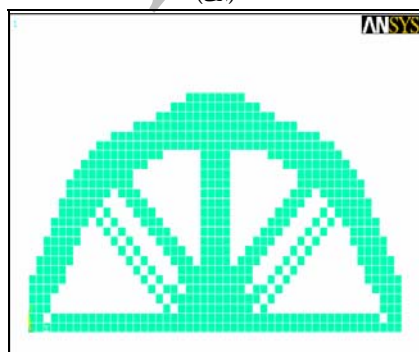
(ب)

شکل (۹): (الف) روند تغییرات تنفس ون مایزز (ب) روند تغییرات کاهش حجم

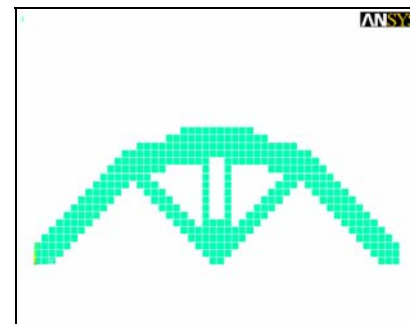
۴-۲-۲-۴-سازه مایکل با یک تکیه گاه ثابت و یک تکیه گاه غلطکی دومین سازه که مورد تحلیل و مقایسه قرار گرفته است مشابه سازه قبل بوده و تنها شرایط مرزی آن تغییر کرده است و تکیه گاه سمت راست آن، فقط سازه را در راستای عمودی مقید ساخته است و سایر پارامترهای دیگر مشابه حالت قبل می‌باشد. روند انجام بهینه سازی با المان مربعی چهار گرهای و هشت گرهایی به ترتیب در شکل‌های (۱۰) و (۱۱) نمایش داده شده است و همان گونه که مشاهده می‌گردد شکل‌های سازه بدست آمده تا حدودی متفاوت می‌باشد.



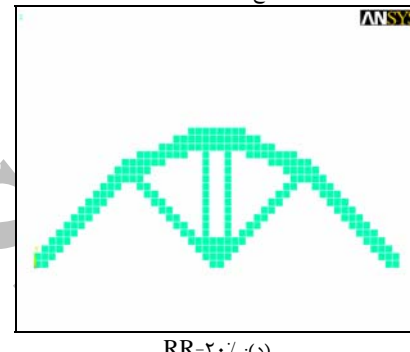
(الف)



(ب)



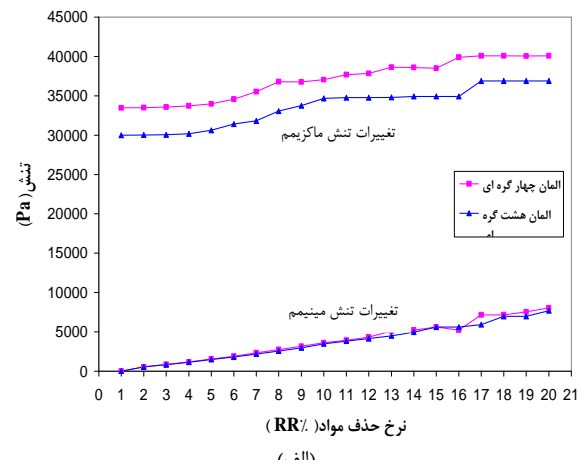
(ج):



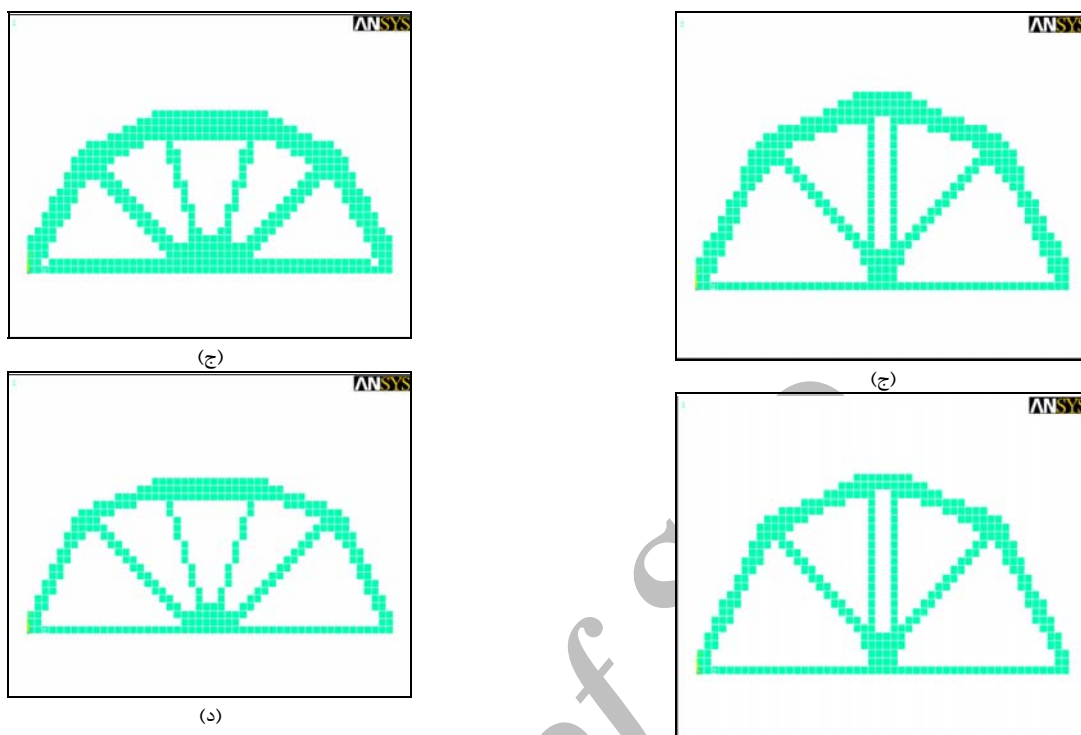
(د):

شکل (۸): جواب‌های روش ESO با المان هشت گرهای در حالت پایدار

روند تغییرات تنفس ون مایزز و روند کاهش حجم در دو حالت مذکور نیز در نمودارهای شکل (۹) نمایش داده شده است. همان گونه که از نتایج بدست آمده مشخص است، میزان کاهش حجم در هر دو المان تفاوت چندانی نداشته اما با توجه به دقت بالاتر المان های ۸ گره ای، تغییرات تنفس ماکریتم با یکدیگر متفاوت بوده و سطح تنفس ماکریتم در المان مربعی ۸ گرهایی پایین‌تر از المان چهار گرهایی می‌باشد و این در حالی است که هر دو گروه از نتایج از نظر شکل بهینه و انطباق آن با سازه مایکل جواب‌های قابل قبولی را ارائه می‌دهند.

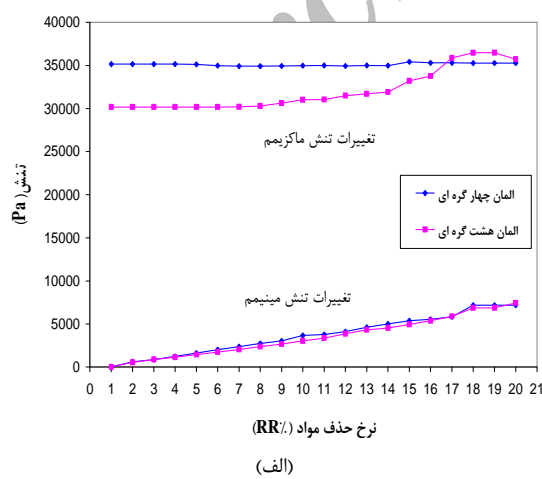


(الف)



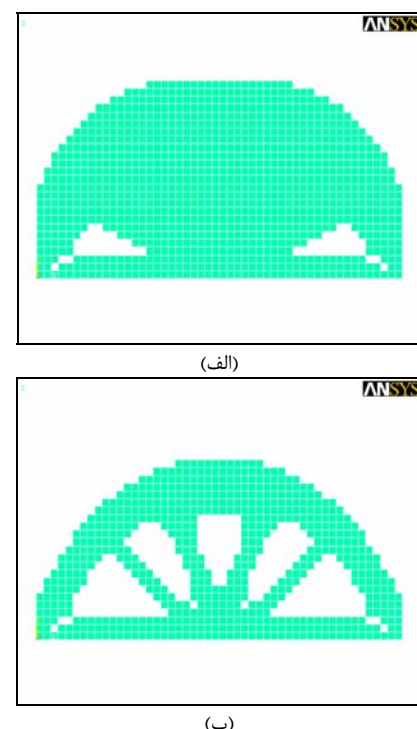
شکل (۱۱): جواب های روش ESO با المان هشت گره ای در حالت پایدار (الف)
RR=۲۰٪. (ب) RR=۱۵٪. (ج) RR=۱۰٪. (د) RR=۵٪.

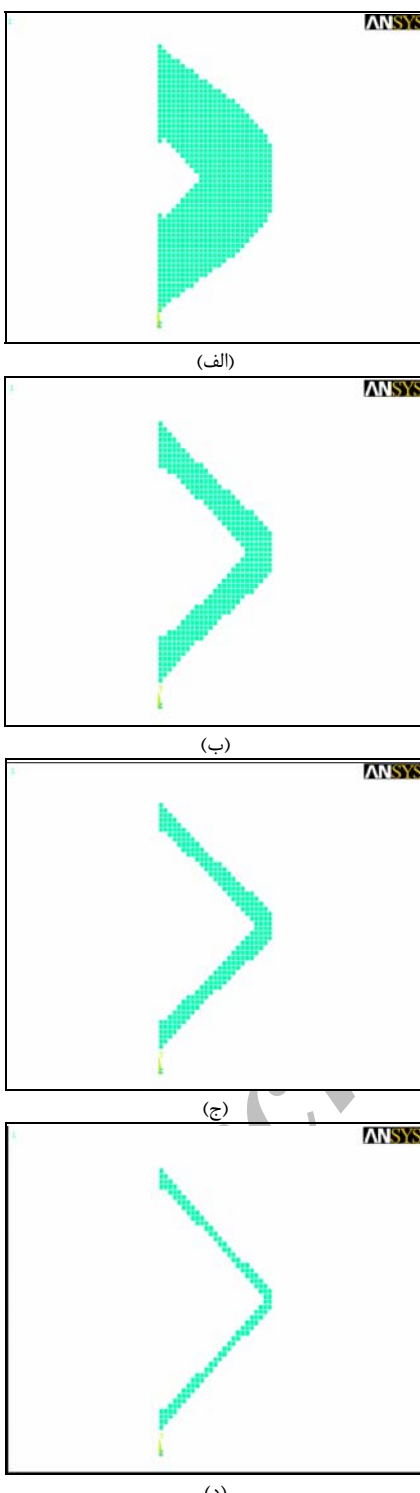
روند تغییرات تنش و کاهش حجم مسئله در نمودارهای شکل (۱۲) بیان گردیده است. در صورت استفاده از المان مرتبه بالاتر سطح تنش محاسبه شده در جسم پایین تر می باشد اما حجم نهایی بدست آمده در یک حالت پایدار یکسان مانند RR=۲۰٪. اندکی کمتر از حجم نهایی بدست آمده در سازه با المان چهار گره ای می باشد.



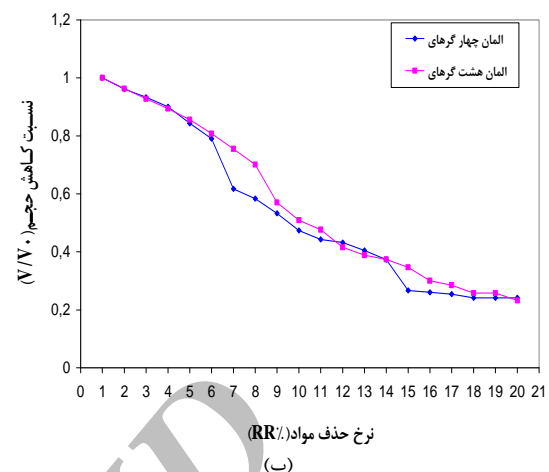
(الف)

شکل (۱۰): جواب های روش ESO با المان چهار گره ای در حالت پایدار (الف)
RR=۲۰٪. (ب) RR=۱۵٪. (ج) RR=۱۰٪. (د) RR=۵٪.





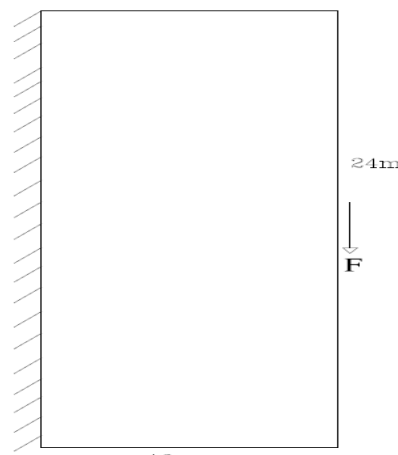
شکل (۱۴): جواب‌های روش ESO با المان چهار گره‌ای در حالت پایدار (الف) $RR=20\%$ (ب) $RR=40\%$ (ج) $RR=50\%$.



شکل (۱۲): (الف) روند تغییرات تنفس ون مایزز (ب) روند کاهش حجم

۴-۲-۴- قاب دو عضوی

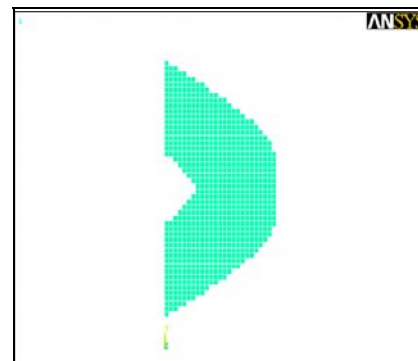
آخرین مثال ارائه شده در این بخش مربوط به یک مسئله به شکل صفحه عمودی می‌باشد که در حالت بهینه به صورت یک قاب دو عضوی خواهد بود و از جمله مثال‌های کلاسیک در زمینه بهینه سازی توبولوژی می‌باشد.



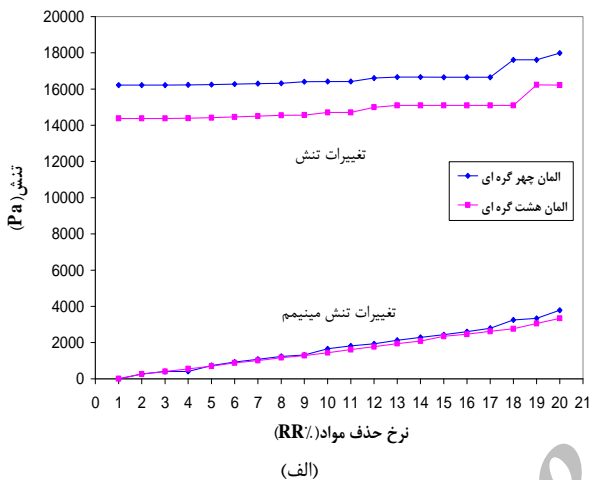
شکل (۱۳): محیط طراحی قاب دو عضوی تحت بارگذاری

همان گونه که در شکل (۱۳) مشخص است فضای طراحی با ابعاد $10 \times 24\text{m}$ می‌باشد و فضای طراحی با $25 \times 60\text{ المان}$ تقسیم بندی شده است و سایر پارامترها مشابه مثال‌های قبل بوده و نیروی $F=1000\text{ N}$ مطابق شکل به میانه لبه سمت راست وارد می‌شود. در این مثال نیز یک بار مسئله با المان مربعی چهار گره‌ای و در مرحله بعد با المان‌های مربعی با هشت گره تحلیل و بهینه سازی شده است که نتایج بدست آمده در روند حل مسئله مطابق شکل (۱۴) و (۱۵) می‌باشد.

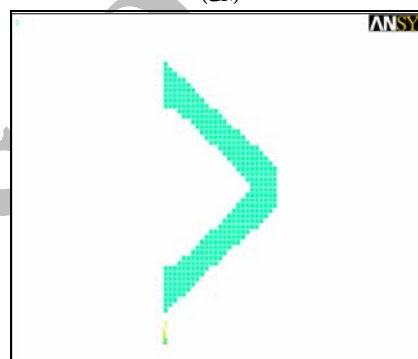
همان گونه که از نتایج مشخص است، هر دو حالت به جواب مورد نظر همگرا شده‌اند اما در حالت پایدار یکسان و نرخ حذف مواد $RR=20\%$ برای هر دو حالت، میزان کاهش حجم در صورت استفاده از المان مرتبه پایین چهار گره‌ای، به میزان 20% بیشتر است و با توجه به اینکه سطح تنفس در نتایج حاصل از المان هشت گره‌ای مقدار کمتری بوده و از طرفی، معیار حذف مواد نیز بر مبنای درصدی از حداکثر تنفس ماکریزم در سازه می‌باشد، این افزایش حجم نهایی منطقی به نظر می‌رسد.



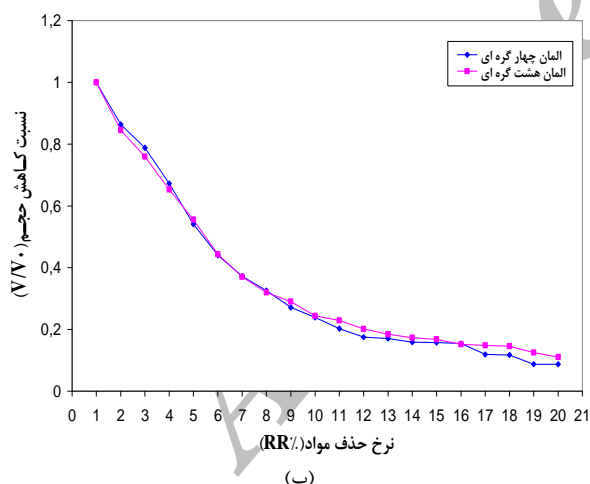
(الف)



(الف)

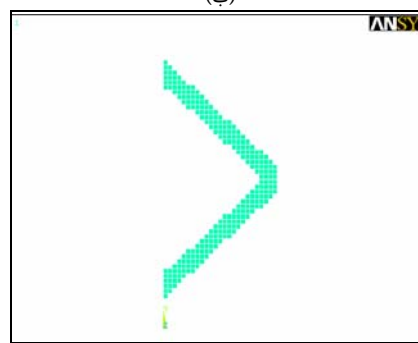


(ب)

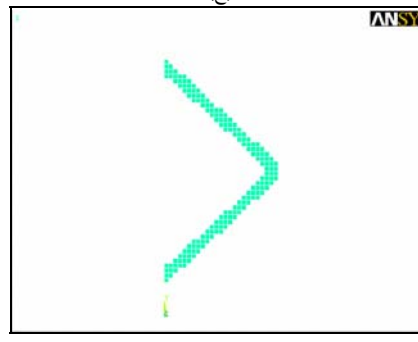


(ب)

شکل (۱۶): (الف) روند تغییرات تنفس ون مایزز (ب) روند کاهش حجم



(ج)



(د)

شکل (۱۵): جواب‌های روش ESO با المان هشت گره‌ای در حالت پایدار
الف) $RR=5\%$ (ب) $RR=10\%$ (ج) $RR=15\%$ (د) $RR=20\%$

بهینه سازی تکاملی سازه‌ها (ESO) در حل مسائل بهینه سازی توبولوژیکی با موفقیت بکار گرفته شده و با توجه به اینکه روش مذکور پیچیدگی‌های ریاضی برخی از روش‌های مطرح را نداشته و در هر یک از جواب‌های بهینه محلی بدست آمده در روند حل مسئله، فرصت انتخاب مناسبی را برای طراح ایجاد می‌کند که این امر از دیدگاه مهندسی حائز اهمیت می‌باشد.

۵- نتیجه گیری

- [8] Hinton, E., Sienz, J., "Fully stressed topological design of structures using an evolutionary approach", *Engineering Computations*, Vol. 12, No. 3, 1995, pp. 229-234.
- [9] Baumgartner, A., Harzheim, I. and Matteck, C., "SOK soft kill option:the biological way to find an optimum structure topology", *Int J Fatigue*, Vol. 14, No. 6, 1992, pp. 387-393.
- [10] Reynolds, D., Mcconnachie, J. and Bettes, P., "Christie WC, Bull JW.Reverse adaptivity a new evolutionary tool for structural optimization", *Int J Number Meth Eng*, Vol.45, No. 5, 1999, pp. 529-552.
- [11] Xie, M., Steven, GP., "A simple evolutionary procedure for structural optimization", *Comput Struct*, Vol. 49, No. 5, 1993, 885-896.
- [12] Abolbashari, M., Keshavarzmanesh, S., "On various aspects of application of the evolutionary structural optimization method for 2D and 3D continuum structures", *Finite Element Anal*, Vol. 42, No. 6, Des. 2005, pp. 478-491.
- [13] Manickarajah, D., Xie, M. and Steven, G., "Optimization of columns and frames against buckling", *Computers & Structures*, Vol. 75, No. 1, March 2000, pp. 45-54.
- [14] Xie, M., Steven, G., "Evolutionary structural optimization for dynamic problems", *Comput. Struct*, Vol. 58. No. 6, 1996, pp. 1067-1073.
- [15] Liang, Q., Xie, M. and Steven, G., "Optimal topology selection of continuum structures with displacement constraints", *Comput Struct*, Vol. 77, No. 6, 1999, pp.885-896.
- [16] Li, Q., Steven, G., Querin, O. and Xie, M., "Topology design of structures subjected to thermal load by evolutionary optimization procedure", *ASME Design Engineering technical conferences, DETC97 DAC3974*, Sacramento, USA, 1997, pp. 175-212.
- [17] Li, Q., Steven, G., Querin, O. and Xie M., "Evolutionary shap optimization for stress minimization", *Mech Res Commun*, Vol. 26, No. 6, 1999, pp. 657-664.
- [18] Querin, O., Steven G. and Xie M., "Evolutionary structural optimization using an adaptive algorithm", *Finite Element Anal*, Vol. 34, No. 3, Des. 2000, pp. 291-308.
- [19] Querin O., Steven G. and Xie M., "Evolutionary structural optimization (ESO) using bi-directional algorithm", *Engineering Computations*, Vol. 15 , No. 8, 1998, pp. 1031-1048.
- [20] Xie, M., Steven, G., "Evolutionary structural optimization", Springer-verlag, London, 1997.

در این مقاله اثر مرتبه المان در پارامترهای نرخ حذف اولیه RR_0 و نرخ تکاملی ER بررسی گردید و مقدار مناسب جهت استفاده در المان‌های مرتبه بالا پیشنهاد شده است و چندین مثال با شرایط مزدی مختلف با المان‌های مربعی چهار گرهایی و هشت گرهایی، تحلیل و بهینه سازی شده و نتایج آنها با یکدیگر مقایسه گردید. نتایج نشان داد که، تغییر نرخ تکاملی ER علی رغم اینکه تغییر چندانی در سطح تنش و کاهش حجم ایجاد نمی‌کند اما در شکل نهایی بدست آمده تاثیر قابل توجهی خواهد داشت و حساسیت روش نسب به تغییرات این پارامتر بیشتر می‌باشد. مقایسه روند تغییرات تنش برای المان‌های مربعی چهار گرهایی و هشت گرهایی نشان می‌دهد که در صورت استفاده از المان‌های با مرتبه بالاتر، سطح تنش ماکریم محسوبه شده در اغلب زمان حل مسئله پایین‌تر بوده و با توجه به اینکه معیار حذف مواد در این روش بر مبنای مقایسه تنش هر المان با درصدی از حداکثر تنش ون مایزز می‌باشد، بنابراین در شرایط یکسان، مقدار کمتری از مواد در مقایسه با المان مرتبه پایین‌تر حذف می‌گردد.

۶-مراجع

- [1] Michell, AGM., "The limits of economy of material in frame-structures", *Philos mag*, Vol. 8, No. 47, 1904, pp. 589-597.
- [2] Dorn, W. C., Gomory, R. E. and Grenberg, H., "Automatic design of optimal structures", *JMech*, Vol. 3, No. 1, 1964, pp. 25-52.
- [3] Rozvany, GIN., Zhou, M. and Gollub, W., "continuum-type optimality criteria methods for larg finite-lement systems whit a displacement constraint", *Struct Opti*, Vol. 2, 1990, pp. 77-104.
- [4] Bendsøe, MP., Kikuchi, N., "Generating optimal topologies in structural design using homogenization method", *Comput Methods Appl Mech Engrg*, Vol. 71, No. 2, 1988, pp. 197-224.
- [5] Bendsoe, MP., "Optimal shape design as a material distribution probem", *Struct Optim*, Vol. 1, No. 4, 1989, pp. 193-202.
- [6] Hassani, B., Hinton, E., "Homogenization and structural topology optimization: Theory, practice and software", Springer-verlag, London, 1999, Chaps. 8, pp. 190-199.
- [7] Bendsoe, MP., Sigmund, O., "Topology optimization. Theory, methods and applications", Springer-verlag, berlin, 2003, Chaps. 1, pp. 4-8.